

Спиновая динамика в парах реагентов под влиянием магнитных взаимодействий приводит к ряду замечательных последствий. В продуктах радикальных реакций наблюдается неравновесная заселенность ядерных спиновых состояний — явления химической поляризации ядер (ХПЯ) и стимулированной поляризации ядер (СПЯ). В процессе ХПЯ в ходе реакции создается преимущественная ориентация ядерных спинов относительно внешнего магнитного поля и взаимная упорядоченность ядерных спинов. В СПЯ под влиянием радиочастотной накачки возникает обогащение или обеднение в заселенности совершенно определенных конфигураций ядерных спинов. Одновременно возникает поляризация электронных спинов. Поляризация спинов в радикальных реакциях находит применение, например, для установления детального механизма реакций, для регистрации спектров ЭПР короткоживущих промежуточных состояний — радикальных пар и др.

Благодаря тому что скорость изменения мультиплетности пар парамагнитных реагентов зависит от напряженности внешнего магнитного поля, в обсуждаемых физико-химических процессах проявляется магнитный эффект: выход продуктов и скорость реакций изменяются с ростом напряженности магнитного поля. Влияние магнитного поля установлено для фотопроводимости молекулярных кристаллов, для радикальных жидкофазных реакций, для рекомбинации электронов и дырок в полупроводниках, для разделения заряда в первичной стадии фотосинтеза, для рекомбинационной люминесценции в ходе радиолиза и др.

Магнитные эффекты дают уникальную информацию о спиновой, молекулярной и химической динамике в промежуточных состояниях — парах парамагнитных реагентов. Убедительной демонстрацией спиновой динамики радикальных пар явилось наблюдение осцилляций в рекомбинационной люминесценции. Влияние переменных магнитных полей на выход продуктов реакций носит резонансный характер, и это позволило развить новые, исключительно чувствительные методы детектирования спектров магнитного резонанса короткоживущих пар парамагнитных частиц. Важным и интересным проявлением спиновой динамики радикальных пар является магнитный изотопный эффект. Эффективность синглет-триплетных переходов в радикальных парах зависит от сверхтонкого взаимодействия и поэтому изменяется при изотопном замещении. Магнитный изотопный эффект наблюден для водорода (H и D), углерода (^{12}C и ^{13}C), азота (^{14}N и ^{15}N), кислорода (^{16}O , ^{17}O и ^{18}O). Ведутся исследования с тяжелыми элементами. Магнитный изотопный эффект означает существование нового принципа фракционирования изотопов в природе.

Обсуждаемые магнитные и спиновые эффекты в элементарных физико-химических процессах демонстрируют роль квантовых запретов в этих реакциях и возможность управлять этими реакциями с помощью магнитных взаимодействий. Полученные в этой области результаты существенным образом изменили наши представления о роли сравнительно слабых магнитных взаимодействий в химических реакциях.

СПИСОК ЛИТЕРАТУРЫ

- Соколик И. А., Франкевич Е. Л. // УФН. 1973. Т. 111. С. 261.
 Буяченко А. Л., Сагдеев Р. З., Салихов К. М. Магнитные и спиновые эффекты в химических реакциях / Под ред. Ю. Н. Молина. — Новосибирск: Наука, 1978.
 Spin Polarization and Magnetic Effects in Radical Reactions / K. M. Salikhov, Yu. N. Molin, R. Z. Sagdeev, A. L. Buchachenko. Ed. Yu. N. Molin. — Amsterdам: Elsevier; Budapest: Akadémiai Kiadó, 1984.

ческой реакции (т. е. превращения, сопровождающегося изменением длин и углов валентных межатомных связей с соответствующей перегруппировкой атомов) в твердом теле вблизи абсолютного нуля ставилась под сомнение. Сложившиеся представления были пересмотрены вследствие открытия явления низкотемпературного предела скорости химической реакции на примере роста цепей при полимеризации формальдегида¹. Как известно, концепция туннельных переходов в химической кинетике получила широкое развитие в последующих работах².

В данном докладе рассматривается другой класс криохимических реакций в твердой фазе — реакции, происходящие за счет преобразования химической энергии в химическую и развивающиеся за счет положительной обратной связи между хрупким разрушением твердого тела и химической реакцией в поверхностных (и приповерхностных) слоях свежих трещин. Эта обратная связь обусловлена тем, что химическая реакция приводит к дальнейшему хрупкому разрушению образца из-за обусловленных ею плотностных или температурных градиентов, создающих разрушающие образец напряжения. Системам с обратной связью, описываемым соответствующей нелинейной моделью, присущи автоволновые явления, возникающие в образце достаточной протяженности в ответ на локально внесенное возмущение.

Для всех изученных систем (щечные реакции хлорирования, гидробромирования олефинов и полимеризации в стеклообразных и поликристаллических образцах), химически инертных при 4,2 и 77 К, локальным хрупким разрушением удалось инициировать самопроизвольное распространение волны реакции. Эта волна хорошо регистрировалась с помощью киносъемки. Волна реакции пробегала по образцу со скоростью 10—12 мм/с, слабо изменяющейся при изменении температуры термостата от 77 до 4,2 К. Характерный профиль бегущей температурной волны (рис. 1, кривая 1) содержит элементы, совершенно нетипичные для классического теплового самораспространения,— отсутствие стадии инертного прогрева и скачкообразное включение и выключение реакции в точках *c* и *d*.

Для установления роли теплового фактора в механизме изучаемых явлений выяснялось, существует ли критический диаметр образца. При переходе от опытов в трубках диаметром 8 мм к капиллярам диаметром 0,5—1,0 мм (увеличение более чем на порядок параметра, характеризующего интенсивность теплоотдачи) ни в одной из исследованных систем не происходило подавления автоволнового процесса (рис. 2). Переход к пленочным образцам толщиной 100 мкм, непосредственно погруженным в жидкий азот, также не привел к исчезновению автоволнового процесса.

Качественная картина распространения фронта реакции в виде автоволны представляется как перемещение по твердому образцу узкой зоны, сильно иссеченной развитой сетью свежеобразованных трещин. Как сказано выше, химическая реакция возникает в этой зоне в процессе хрупкого разрушения и, в свою очередь, создает условия для активирующего разрушения соседнего слоя. Такое послойное диспергирование вызывается бегущим полем напряжений, которое может быть обусловлено: 1) различием плотностей исходных и конечных продуктов (возникновением плотностных градиентов) и 2) наведением за счет экзотермии реакции больших температурных градиентов. Предложена модель, описывающая второй из названных механизмов

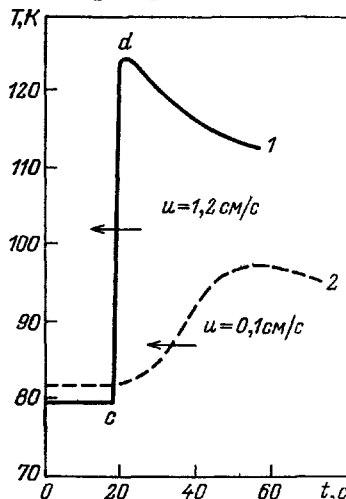


Рис. 1. Температурные профили автоволнового распространения реакции $C_4H_9Cl + Cl_2$.
1 — запуск волны локальным разрушением; 2 — запуск волны медленным локальным прогревом

автоволнового процесса. Принципиальное отличие этой модели от уравнения горения³ состоит в том, что тепловой источник Q является здесь функцией не самой температуры, а ее градиента. Поскольку тепловыделение реакции включается только в ответ на хрупкое разрушение образца термическими напряжениями, превосходящими предел прочности материала, то величина Q была представлена в виде функции, изменяющейся скачком от 0 до Q^* при некотором критическом $dt/dx = (dt/dx)^*$ и сохраняющей это значение неизменным в течение времени достижения максимальной температуры во фронте

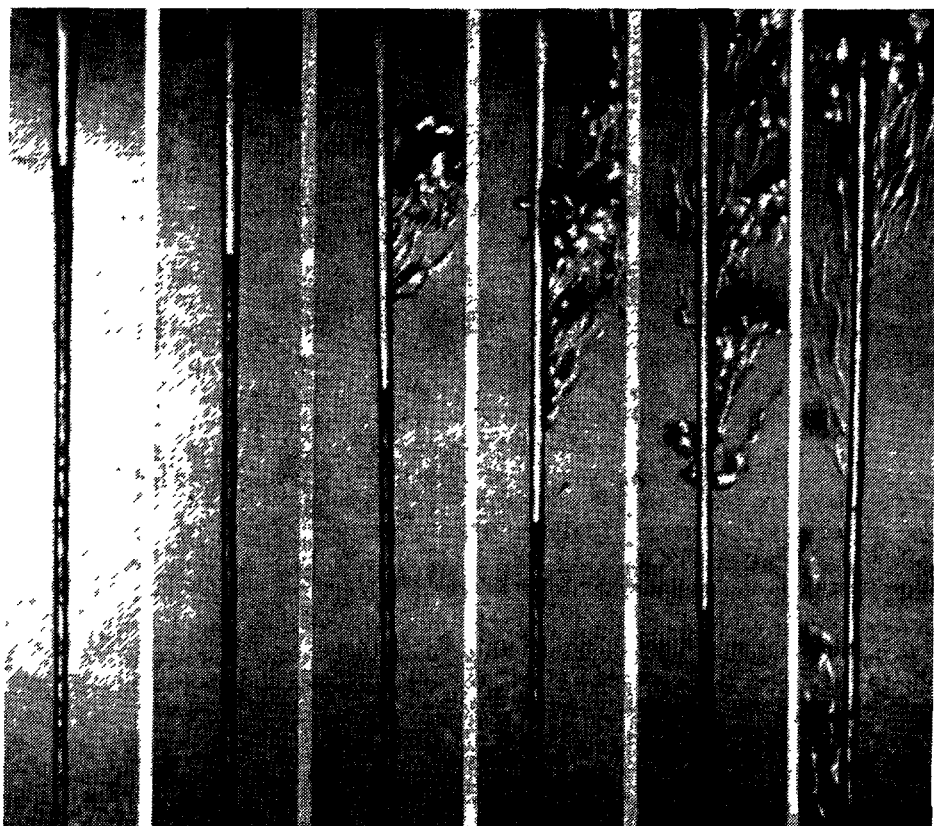


Рис. 2. Кинограмма распространения автоворны реакции хлорирования в капилляре диаметром 0,5 — 1,0 мм, погруженном в жидкий гелий

волны. Существенной особенностью решения такого уравнения оказалась его неединственность. Было предсказано существование двух стационарных режимов бегущей волны, различающихся по скорости распространения фронта и его структуре. Обе эти волны удалось наблюдать на опыте, что свидетельствует в пользу развиваемых представлений (см. рис. 1).

В качественном соответствии с этими представлениями находится также и тот факт, что всестороннее сжатие образца (приводящее к его упрочнению) имело своим следствием почти трехкратное снижение скорости волны. Структура волны, как и следовало ожидать, с ростом давления меняется: максимальный градиент в температурном профиле волны смещается в сторону максимального разогрева.

Вопрос о возможном влиянии пластических деформаций исследовался посредством изменения динамики нагружения образцов. Хрупкое разрушение пленки, вызванное ударом бойка, приводило к возникновению автоворны, медленное нагружение того же бойка ($\sim 10^3$ Па/с) приводило к пластической

деформации образца в зоне бойка, однако автоволны при этом не возникало (см. также ⁴).

Обнаруженные автоволновые режимы распространения криохимических реакций демонстрируют своеобразную механохимическую энергиетическую цепь: упругое деформирование — хрупкое разрушение — химическая реакция — упругое деформирование.

СПИСОК ЛИТЕРАТУРЫ

1. Гольданский В. И., Франк-Каменецкий М. Д., Баркалов И. М. //ДАН СССР. 1973. Т. 211. С. 133.
2. Goldanskii V. I. //Nature. 1979. V. 279. P. 109.
3. Зельдович Я. Б., Баренблatt Г. И., Либрович В. Б., Махвильадзе Г. М. Математическая теория горения и взрыва. — М.: Наука, 1980.
4. Занин А. М., Кирюхин Д. П., Баркалов И. М., Гольданский В. И. //Письма ЖЭТФ. 1981. Т. 33. С. 336.
Занин А. М., Кирюхин Д. П., Барелко В. В., Баркалов И. М., Гольданский В. И. //Хим. физ. 1982. № 2. С. 265.
Барелко В. В., Баркалов И. М., Ваганов Д. А., Занин А. М., Кирюхин Д. П. //Ibidem. 1983. № 7. С. 980.
Barkalov I. M., Goldanskii V. I., Kiryukhin D. P., Zanin A. M. // Intern. Rev. Phys. Chem. 1983. V. 3. P. 247.
Кирюхин Д. П., Занин А. М., Барелко В. В., Баркалов И. М. //Хим. физ. 1986. Т. 5. С. 1137.